

بررسی تغییرات سیگنال‌های کمبود منابع آب در حوضه دریاچه ارومیه

محمد ناظری تهرودی^۱، یوسف رمضانی^{۲*}، کارلو دی میکله^۳، رسول میرعباسی نجف آبادی^۴

تاریخ دریافت: ۱۳۹۸/۱۱/۴ تاریخ پذیرش: ۱۳۹۸/۱۲/۵

چکیده

بررسی تغییرات بلندمدت منابع آب در هر حوضه به عنوان سیستم پایش عمل می‌کند. بررسی تغییرات منابع آب، نحوه تغییرات و درصد آن در هر حوضه کمک به سازابی به بخش مدیریت منابع آب خواهد داشت. در این مطالعه ضمن معرفی سیگنال‌های کمبود منابع آب، به بررسی روند تغییرات این سیگنال‌ها با استفاده از آزمون من-کنдал اصلاح شده با حذف اثرات خودهمبستگی داخلی پرداخته شده است. در این مطالعه از مقادیر سیگنال‌های کمبود بارش، کمبود دبی جریان و کمبود سطح آب زیرزمینی در مدت دوام‌های ۱۰، ۳۰ و ۶۰ روزه موجود در ۱۲ زیرحوضه در حوضه دریاچه ارومیه استفاده شده است. در مورد مقادیر بارش و دبی جریان از ایستگاه‌های باران‌سنگی و هیدرومتری و جهت انتخاب پیزومتر معرف حوضه از تئوری بی‌نظمی استفاده شد. نتایج بررسی تغییرات مقادیر سیگنال‌های کمبود نشان داد که تغییرات کلی، افزایشی می‌باشد که این افزایش در برخی موارد معنی‌دار و در برخی موارد غیر معنی‌دار می‌باشد. به طور کلی نتایج نشان داد که به طور متوسط در دوره آماری مورد بررسی، سیگنال‌های کمبود بارش، کمبود دبی جریان و کمبود سطح آب زیرزمینی در زیرحوضه‌های مورد بررسی به ترتیب ۵۲، ۳۵ و ۲۳ درصد نسبت به میانگین بلندمدت افزایش یافته‌اند. این تغییرات برای حوضه دریاچه ارومیه بیانگر افزایش میزان خشک‌سالی‌های هواشناسی، هیدرولوژیکی و آب زیرزمینی می‌باشد.

واژه‌های کلیدی: آب زیرزمینی، بارش، خشکی، دبی جریان، کنдал

برای بررسی روند یکنواخت داده‌ها می‌باشد (Xu et al., 2003). احمدی و همکاران (۱۳۹۵) در پژوهشی روند تغییرات بارش‌های ماهانه، فصلی و سالانه نیمه شمالي ایران را در دوره آماری ۲۰۱۰-۱۹۶۱ با استفاده از آزمون ناپارامتری من-کنдал مورد بررسی قرار دادند. نتایج نشان داد که در مقیاس سالانه، هشت ایستگاه (۴۴ درصد ایستگاه‌ها) از ۱۸ ایستگاه مورد بررسی، روند کاهشی معنی‌دار، شش ایستگاه روند کاهشی غیرمعنی‌دار و فقط چهار ایستگاه (ایستگاه‌های بالسرس، قزوین، سبزوار و تهران) افزایش غیرمعنی‌دار در بارش را تجربه کرده‌اند. ناظری تهرودی و خزیمه‌نژاد (۱۳۹۶) با استفاده از آزمون من-کنдал اصلاح شده روند تغییرات بارش‌های فصلی و سالانه ایران و کشورهای همسایه را مورد بررسی قرار دادند. نتایج بررسی روند تغییرات سالانه مقادیر بارش منطقه نشان داد که از بین کشورهای مورد بررسی، روند تغییرات دو کشور عراق و ایران نسبت به سایر کشورها بحرانی تر بوده و به ترتیب حدود ۱/۲ و ۱/۰۳ میلی‌متر از مجموع بارش‌های سالانه در هر سال کاهش یافته است. لینز و اسلام خصوصیات فصلی و منطقه‌ای روند جریان‌های ۴۳۵ ایستگاه هیدرومتری در ایالات متحده را در دوره آماری ۱۹۹۰-۱۹۹۹ مورد بررسی قرار دادند (Lins and Slack., 2005). نتایج نشان داد که روند افزایشی جریان‌های کم تا متوسط در طول دوره مذکور در دو

مقدمه

ایستایی سری‌های زمانی یکی از فرضیات اصلی در تحلیل فراوانی متغیرهای هیدرولوژیکی است و بیشتر مسائل مهندسی آب، بر مبنای این فرضیه موردمطالعه قرار می‌گیرند. عوامل مهمی نظیر روند، پرش و فصلی بودن در غیر ایستادن سری‌های زمانی نقش دارند. از طرف دیگر، اثرات احتمالی گرمایش جهانی بر سیستم‌های منابع آب نیز از عواملی است که بر طبق مطالعات اخیر محققان، ممکن است بر ایستایی فرآیندهای هیدرولوژیکی تأثیرگذار باشد. بنابراین، داشتن آگاهی و بینش کافی در مورد تحلیل روند و ایستایی در سری‌های زمانی ضروری بوده و در درک ارتباط احتمالی بین فرآیندهای هیدرولوژیکی و تغییرات محیط‌زیست جهانی بسیار مفید می‌باشد. آزمون‌های آماری ناپارامتری بسیاری برای تعیین روند در سری‌های تاکنون بسط داده شده‌اند. از بین آزمون‌های ناپارامتری، آزمون من-کنдал (MK) بهترین انتخاب

- ۱- دانشجوی دکتری منابع آب، دانشگاه بیرجند
۲- دانشیار گروه علوم و مهندسی آب، دانشگاه بیرجند
۳- استاد گروه عمران و مهندسی محیط زیست، دانشگاه پلی تکنیک میلان
۴- دانشیار گروه مهندسی آب، دانشگاه شهرکرد
(*)- نویسنده مسئول: (Email: y.ramezani@birjand.ac.ir)

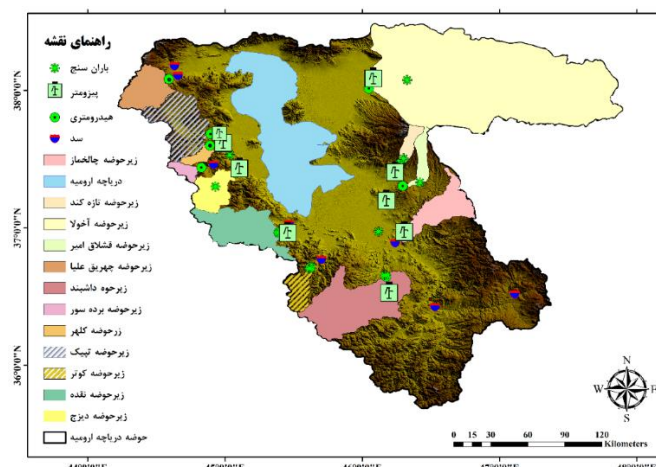
(Khozeymehnezhad and Tahroudi, 2019). در این مطالعه ضمن معرفی سیگنال‌های کمبود منابع آب، به بررسی تغییرات کمبودهای منابع آبی در زیرحوضه‌های موجود در حوضه دریاچه ارومیه پرداخته شده است. لذا هدف از مطالعه حاضر، بررسی تغییرات سیگنال‌های کمبود بارش، کمبود دبی جریان و کمبود سطح آب زیرزمینی در ۱۲ زیرحوضه دریاچه ارومیه با استفاده از آزمون من-کندال اصلاح شده با حذف اثرات کامل خودهمبستگی داخلی می‌باشد. در این مطالعه به جای پرداختن به تغییرات مقادیر مشاهده شده به بررسی تغییرات کمبود این متغیرها پرداخته می‌شود.

مواد و روش‌ها

منطقه مورد مطالعه

دریاچه ارومیه که حدود ۱۲۶۷ متر از سطح دریا ارتفاع دارد و در طول ۱۳۰ کیلومتر، آب ارتفاعات اطراف را به سوی خود جلب می‌کند. منطقه مورد مطالعه در این تحقیق حوضه آبریز دریاچه ارومیه و رودخانه‌های موجود در حوضه می‌باشد. در این مطالعه از داده‌های بارش، دبی و سطح آب زیرزمینی موجود در زیرحوضه‌های دریاچه ارومیه استفاده گردید. در این میان از ۱۲ زیرحوضه در اطراف دریاچه ارومیه به شرح شکل ۱ استفاده شد. سه زیرحوضه در استان آذربایجان شرقی و نه زیرحوضه در استان آذربایجان غربی قرار دارد. در این مطالعه از مقادیر بارش و دبی جریان در دوره آماری ۱۳۷۹-۱۳۹۴ و سطح آب زیرزمینی در دوره آماری ۱۳۵۲-۱۳۹۴ استفاده شد. در هر زیرحوضه یک ایستگاه باران‌سنجی برای معرفی مقادیر بارش، یک ایستگاه هیدرومتری برای معرفی مقادیر دبی جریان و یک چاه پیزومتر برای نشان دادن تغییرات سطح آب زیرزمینی انتخاب گردید. خلاصه مشخصات آماری داده‌های مورد بررسی در این تحقیق نیز به شرح جدول ۱ قابل مشاهده می‌باشد.

سوم مرکز ایالات متحده تجربه شده و این روند با وسعت کمتر در قسمت‌های شرقی نواحی ساحلی نیز تجربه شده است. همچنین روندهای نسبتاً کمی هم در سری داده‌های جریان‌های حداکثر سالانه این نواحی مشاهده شده است. وانگ و همکاران اثرات تغییرپذیری اقلیمی بر خصوصیات جریان یک حوضه آبریز در شمال غربی چین را مورد بررسی قرار دادند (Wang et al., 2008). آن‌ها برای تعیین وجود روند در داده‌های جریان و متغیرهای اقلیمی و نیز بررسی ارتباط بین آن‌ها از آزمون MK و رگرسیون گام‌به‌گام استفاده نمودند. نتایج نشان داد که جریان، بارش و تبیخیر تعرق در سطح پنج درصد در طول دوره مورد مطالعه (۱۹۸۲-۲۰۰۳) فاقد روند معنی دار است. خلیلی و همکاران روند تغییرات زمانی و مکانی بارش‌های ۵۰ ساله ایران را با استفاده از آزمون من - کندال اصلاح شده و شاخص تراکم بارش مورد بررسی قرار دادند. بر اساس نتایج حاصله، شاخص PCI در مناطق مرکزی و جنوبی کشور نشان دهنده وجود بی‌نظمی زیاد و پراکنده‌گی بالا در ریزش‌های جوی می‌باشد (Khalili et al., 2016). احمدی و همکاران روند تغییرات نقطه‌ای و منطقه‌ای بارش سالانه ایستگاه‌های سینوپتیک ایران در طی نیم قرن اخیر از رون من کندال Ahmadi et al., 2018). زمانی و همکاران تغییرات زمانی و مکانی بارش‌های ایالت جارکاند هندستان را در مقیاس‌های زمانی روزانه، فصلی و سالانه با استفاده از شاخص‌های تراکم و تراکم بارش مورد بررسی قرار دادند (Zamani et al., 2018). تهرودی و همکاران با توسعه شاخصی مبنی بر TCI به بررسی تغییرات و توزیع الگوی دمایی در کشور ایران پرداختند (Tahroudi et al., 2018). خزیمه‌نژاد و تهرودی به بررسی تغییرات الگوی بارش‌های ایران و کشورهای همسایه با محوریت ایران در دوره آماری ۱۹۷۰-۲۰۱۴ پرداختند. با توجه به مطالب ارائه شده می‌توان مشاهده کرد که تغییرات مورد بررسی همگی در مورد پارامترهای هواشناسی یا هیدرولوژی در هر حوضه بوده است



شکل ۱- موقعیت جغرافیایی زیرحوضه‌های مورد بررسی در حوضه دریاچه ارومیه

جدول ۱ - خصوصیات آماری داده‌های مورد بررسی در مقیاس سالانه

زیرحوضه/ایستگاه هیدرومتری	ایستگاه باران‌سنگی	چاه پیزومتری	متوسط بارش (mm)	متوسط سطح آب زیرزمینی (m)	متوسط بارش (m³/s)
برده سور	کمپ ارومیه	---	۴۰۰/۰۷	۴/۱۱	---
چهریق علیا	چهریق علیا	---	۳۴۰/۲۴	۳/۵۲	---
داشبند	میرآباد	داشبند	۳۵۴/۵۲	۱۴/۰۵	۶/۲۶
دیزج	دیدان	هاشم آباد	۵۴۴/۵۹	۷/۹۴	۳/۰۴
کلهر	درزمن	کلهر	۴۲۳/۴۲	۱/۱۰	۴۹/۹۹
کوترب	---	کوترب	۳۷۵/۲۷	۶/۲۳	---
نقده	تازه قلعه	نقده	۳۲۸/۱۵	۱۰/۴۴	۵/۲۲
چالخماز	ظلم آباد	پل میاندوآب	۳۸۶/۴۳	۱۸/۶۶	۱۸/۰۸
تپیک	نازلو	تپیک	۳۹۴/۳۵	۱۱/۳۷	۳۴/۰۸
قشلاق امیر	شیخ بابا	مغاجیق	۳۲۷/۱۶	۲/۲۹	۵/۳۰
تازه کند علیوان	مراغه	خرمزرد	۲۹۰/۷۰	۳/۶۳	۱۰/۳۵
آخولا	مایان	تریز	۲۳۵/۷۶	۱۰/۵۳	۵/۸۸

پیزومتر می‌پردازد. این شاخص با رتبه‌بندی چاه‌های پیزومتر، بهترین چاه از نظر انتقال اطلاعات با سایر چاه‌ها را معرفی می‌کند. در بین ۱۲ حوضه مورد بررسی، سه حوضه فاقد چاه در محدوده‌های مناسب بوده و تنها نه پیزومتر برای نه زیرحوضه معرفی می‌گردد. جدول ۲ تعداد چاه‌های موجود در هر زیرحوضه را نشان می‌دهد. حال با توجه به این که هدف از انتخاب چاه پیزومتر در هر زیرحوضه، نمایش سطح آب زیرزمینی نسبت داده شده به زیرحوضه است، در انتخاب چاه پیزومتر باید دقت کافی داشت. موجود در جدول ۲ با استفاده از تئوری آنتروپی مورد تجزیه و تحلیل قرار خواهد گرفت و با توجه به شاخص‌های آنتروپی، از نظر کمبود یا افزونگی اطلاعات، چاه‌های پیزومتر موجود طبقه‌بندی خواهد شد و در نهایت با توجه به رتبه‌های کسب کرده، چاه‌های برتر معرفی خواهد شد.

انتخاب ایستگاه‌های باران‌سنگی و پیزومتری

در این مطالعه جهت انتخاب ایستگاه‌های باران‌سنگی و چاه‌های پیزومتری در هر زیر حوضه از تئوری آنتروپی استفاده می‌شود. از آنجایی که در زیرحوضه‌های مورد مطالعه ایستگاه‌های باران‌سنگی و پیزومترهای متعددی موجود است و هم‌چنین پراکندگی ایستگاه‌ها در کل زیرحوضه یکنواخت می‌باشد، لذا به جای استفاده از پلیگون‌های تیسن و یا میانگین وزنی از روش آنتروپی استفاده شده و ایستگاهی که بیشترین شباهت را با زیرحوضه مورد مطالعه دارد، به عنوان ایستگاه برتر انتخاب می‌گردد. جهت اطلاع بیشتر از تئوری آنتروپی و Tahroudi et al., (2019b) مراجعه شود. تئوری آنتروپی با استفاده از شاخصی موسوم به شاخص اطلاعات خالص تبدیلی به طبقه‌بندی ایستگاه‌ها یا چاه‌های

جدول ۲ - تعداد چاه‌های پیزومتری موجود در محدوده زیرحوضه‌های مورد بررسی

زیرحوضه	تعداد چاه	چاه‌های پیزومتر موجود	برده سور	صفر
علیا	ندارد	ندارد	ندارد	صفر
دشبند	۵	عباس آباد، حمامیان، میرآباد، گورستان، مهاباد	دشبند	صفر
دیزج	۴	باراندوز، دیدان، کاروانسرای، ساعتلو	دیزج	صفر
کلهر	۶	درزمن، ولینده، جهاد کشاورزی، سلیمان آقا، شورکند، توپراق قلعه	کلهر	صفر
ندارد	۷	آقا بیگلو، تازه قلعه، چشممه گل، کنه قلعه، دربند، آلاگوز، نقده	ندارد	صفر
چالخماز	۷	ظلم آباد، سه راهی، قه سقال، باروچ، چالخماز، میرزانظام، آبدیشه	چالخماز	صفر
تپیک	۱۲	هورسین، پمپ بنزین، گنبد، خرگوش، گنکچین، سرو، سران، جنیزه، نازلو، کک، ساعتلو، ارزلو	تپیک	صفر
قشلاق امیر	۴	شیخ بابا، شیخ بابا قریم، قلعه جوق، قلعه جوق قدیم	قشلاق امیر	صفر
تازه کند	۶	مراغه، خواجه نصیر، ورجوی، بهرآباد، کنارشهر، ملکی	تازه کند	صفر
آخولا	۱۴	مایان، ینگی کند، باغ معروف، جاده، بغل، کاواب، شرق نوجه، رب مایان، مایان سفلی، مایان علیا، آخولا، سفره، آخولا کاواب، نوجه ده، ساعتلو	آخولا	صفر

به عنوان یک بازه یاد می‌شود که در آن پارامتر مورد نظر نسبت به میانگین بلندمدت خود، کمتر می‌باشد. میانگین بلندمدت روزانه (MIDL_P) برای مقادیر بارش، دبی و سطح آب زیرزمینی برای هر ۳۶۵ روز سال (به عنوان مثال: داده‌های ۱۳۸۲ تا ۱۳۹۵) به شرح رابطه استخراج می‌گردد:

استخراج مقادیر سیگنال‌های منابع آب

مقادیر کمبود بارش، دبی جریان و سطح آب زیرزمینی که در این تحقیق به عنوان سیگنال‌های منابع آب زیرزمینی که در دام پیوسته شست روزه بر اساس رابطه پیشنهادی ناظری تهروندی و همکاران استخراج گردید (Tahroudi et al., 2019a). مقادیر تولید شده از این پس با نام "سیگنال" یاد می‌شوند. سیگنال کمبود

$$\text{مقدار پارامتر مورد بررسی در ۱ مهر ۱۳۸۲} + \dots + \text{مقدار پارامتر مورد بررسی در ۱ مهر ۱۳۹۵}$$

(۱)

MIDL_P=

تعداد سال‌های مورد بررسی

که در آن x مقادیر داده‌های متوالی، n طول مجموعه داده‌ها و $\text{sgn}(\theta)$ تابع علامت بوده که به صورت زیر تعریف گردید:

$$\text{sgn}(\theta) = \begin{cases} 1 & \text{if } \theta > 0 \\ 0 & \text{if } \theta = 0 \\ -1 & \text{if } \theta < 0 \end{cases} \quad (۳)$$

من (۱۹۴۵) و کندال (۱۹۶۳) نشان دادند که وقتی $n \geq 8$ باشد، آماره S تقریباً به طور نرمال توزیع شده و میانگین و واریانس آن به صورت زیر می‌باشد:

$$E(S) = 0 \quad (۴)$$

$$V(S) = \frac{n(n-1)(2n+5)}{18} - \sum_{i=1}^m t_i(t_i-1)(2t_i+5) \quad (۵)$$

که در آن t تعداد داده‌های یکسان در دسته i ام و m برابر با تعداد گروه‌های جفتی می‌باشدند. آماره آزمون استاندارد شده به صورت زیر محاسبه می‌شود:

$$Z = \begin{cases} \frac{S - I}{\sqrt{Var(S)}} & S > 0 \\ 0 & S = 0 \\ \frac{S + I}{\sqrt{Var(S)}} & S < 0 \end{cases} \quad (۶)$$

آماره آزمون MK1 استاندارد شده Z از توزیع نرمال استاندارد با میانگین صفر و واریانس ۱ پیروی می‌کند. فرض صفر به شرطی که $Z_{1-\alpha/2} \leq Z \leq Z_{\alpha/2}$ قرار گیرد. لازم به ذکر است که α برابر با سطح معنی‌داری می‌باشد. در شرایطی که $s=0$ باشد داده‌ها فاقد روند بوده و هیچ روند معنی‌دار یا غیر معنی‌داری در داده‌ها وجود ندارد که این شرایط ایده آل برای داده‌های هیدرولوژیکی به ندرت ممکن است اتفاق بیفتد. اما برای داده‌هایی که

برای هر پارامتر، ۳۶۵ مقدار MIDLP استخراج شده و سپس این مقادیر از داده‌های متناظر خود کسر شده و سری جدید محاسبه می‌شود. با محاسبه مجموع متحرک ۱ تا ۶۰ روزه این مقادیر، سیگنال‌های کمبود در مدت دوام‌های مختلف حاصل می‌شود.

بررسی روند تغییرات زمانی داده‌ها

در این تحقیق روند تغییرات سری‌های زمانی موجود با استفاده از آزمون ناپارامتری من-کندال اصلاح شده مورد بررسی قرار گرفت. این آزمون به طور وسیعی در مطالعات هیدرولوژی، کلیماتولوژی و Mann., 1945; Kendall., 1963; Khalili et al., 2016; Khozeynezhad and Tahroudi., 2019; Ahmadi et al., 2018; Tahroudi et al., 2019b شرط لازم برای استفاده از این آزمون عدم وجود خودهمبستگی در سری زمانی داده‌ها می‌باشد، با این حال ممکن است داده‌ها دارای خودهمبستگی معنی‌دار باشند. بنابراین باید ابتدا اثر خودهمبستگی داده‌ها حذف گردد تا بتوان از آزمون من-کندال استفاده نمود (ناظری تهروندی و شهیدی، ۱۳۹۶). بدین منظور در مطالعه حاضر به جای آزمون من-کندال مرسوم (MK1) از ویرایش دیگر آن شامل آزمون من-کندال با حذف کامل ساختار خودهمبستگی (MK3) استفاده شد. در ادامه روش‌های آزمون من-کندال شرح داده می‌شود.

آزمون من-کندال بدون در نظر گرفتن خودهمبستگی داده‌ها در آزمون MK1 هر مقدار در سری زمانی به صورت پیوسته و پشت سرهم با بقیه مقادیر سری، مورد مقایسه قرار می‌گیرد. آماره S به صورت زیر در نظر گرفته می‌شود:

$$S = \sum_{i=1}^{n-1} \sum_{j=i+1}^n \text{sgn}(x_j - x_i) \quad (۷)$$

1- Mean individual daily long-term period

انجام می‌شود در غیر این صورت اثر ضریب خودهمبستگی مرتبه اول داده‌ها بر روی روند آن‌ها به صورت زیر حذف خواهد شد. لازم به ذکر است در صورتی که i_k در رابطه صدق کند، داده‌ها مستقل از هم بوده و نیازی به حذف اثر خودهمبستگی نخواهد بود اما در غیر این صورت بایستی برای تک‌تک مرتبه‌های خودهمبستگی (k) این شرط بررسی شود و در صورت عدم برقراری شرط بالا، داده‌ها مستقل نبوده و بایستی اثر خودهمبستگی از داده‌ها حذف می‌گردد.

-۳- شبیب خط روند یا β برای سری داده‌ها از رابطه ۷ محاسبه و سری جدیدی به شرح زیر به دست می‌آید.

$$x'_i = x_i - (\beta \times i) \quad (9)$$

-۴- ضریب i_1 داده‌های سری جدید مجدداً محاسبه می‌شود:

-۵- مؤلفه ضریب خودهمبستگی مرتبه اول (1)، از سری جدید به شرح زیر حذف و سری باقیمانده‌ها (y'_i) از رابطه زیر به دست می‌آید:

$$y'_i = x'_i - r_1 \times x'_{i-1} \quad (10)$$

-۶- باز دیگر مقدار روند ($\beta \times i$) به سری اخیر افزوده شد و سری نهایی (y) به شرح زیر به دست می‌آید:

$$y_i = y'_i + (\beta \times i) \quad (11)$$

اکنون با اعمال آزمون من - کندال (MK1) به سری داده‌های ترکیبی، وجود روند در آن‌ها بررسی می‌شود. این کار با محاسبه آماره Z من - کندال (رابطه ۶) برای سری اخیر انجام می‌گیرد. اگر محاسبه شده بزرگ‌تر از رقم $1/645$ شود، روند داده‌ها در سطح ۱۰ درصد معنی دار فرض و اگر Z محاسبه شده بزرگ‌تر از ارقام $1/96$ و $2/33$ شود. روند داده‌ها به ترتیب در سطح ۵ درصد و ۱ درصد معنی دار فرض خواهد شد. در غیر این صورت فرض صفر منی بر وجود روند در داده‌ها در سطح معنی داری موردنظر رد می‌شود.

آزمون من - کندال با حذف اثر کامل ضرایب خودهمبستگی معنی دار (MK3)

همان‌طوری که در قسمت معنی داری ضرایب شرح داده شد (بخش مربوط به آزمون من - کندال با حذف ضریب خودهمبستگی مرتبه اول (MK2)) اثر خودهمبستگی ضرایب در تأخیرهای مختلف بررسی شده و ممکن است در مرتبه اول یا مرتبه‌های دیگر داده‌ها مستقل نبوده و نیاز به حذف اثر خودهمبستگی در مرتبه اول یا برای باقی ضرایب صورت گیرد (Khalili et al., 2016). آزمون من - کندال اصلاح شده به منظور حذف اثر کامل ضرایب خودهمبستگی معنی دار توسط حامد و رائو ارائه گردید (Hamed and Rao, 1998). در این آزمون همه ساختار خودهمبستگی معنی دار در سری زمانی

روند افزایشی دارند مقدار S صفر نبوده و مقداری مثبت دارد و در رابطه ارائه شده توسط من - کندال آماره Z با کسر یک واحد از S مثبت تقسیم بر انحراف معیار S به دست می‌آید و برای داده‌هایی که روند کاهشی دارند مقدار S صفر نبوده و مقداری منفی دارد و در رابطه ارائه شده توسط من - کندال آماره Z با اضافه کردن یک واحد به S منفی تقسیم بر انحراف معیار S حاصل می‌گردد (خزینه نژاد و تهرودی، ۲۰۱۹).

تخمین گر شبیب سن

یک شاخص بسیار مفید در آزمون من - کندال شبیب خط روند یا به اصطلاح شبیب Sen می‌باشد که بزرگی روند یکنواخت را نشان می‌دهد. مقدار شبیب روند با استفاده از شیوه ارائه شده توسط تیل و سن با رابطه زیر محاسبه می‌شود (Theil., 1950; Sen., 1968):

$$\beta = \text{Median} \left(\frac{x_j - x_i}{j - i} \right) \quad \forall i < j \quad (12)$$

که در آن β برآوردگر شبیب خط روند و x_i, x_j به ترتیب مقادیر مشاهداتی i ام و j ام می‌باشند. مقادیر مثبت β نشان دهنده روند افزایشی و مقادیر منفی آن روند کاهشی را نشان می‌دهند. این روش در مطالعات هیدرولوژیکی به طور وسیعی استفاده شده است. لازم به ذکر است که برآورد مقدار شبیب سن جهت محاسبات آزمون من - کندال اصلاح شده مورد نیاز می‌باشد.

آزمون من - کندال با حذف ضریب خودهمبستگی مرتبه اول (MK2)

این روش توسط کومار و همکاران شرح داده شده است. در این روش اثر ضریب خودهمبستگی مرتبه اول (i_1) محاسبه و در صورتی که معنی دار باشد، از سری داده‌ها حذف می‌گردد. برای این کار مراحل زیر انجام می‌شود (Kumar et al., 2009):

-۱- ضریب خودهمبستگی مرتبه اول، i_1 ، از رابطه زیر محاسبه می‌شود:

$$r_k = \frac{\frac{1}{n-k} \sum_{i=1}^{n-k} (x_i - \bar{x})(x_{i+k} - \bar{x})}{\frac{1}{n} \sum_{i=1}^n (x_i - \bar{x})^2} \quad (13)$$

-۲- سری داده‌ها در صورتی (در سطح معنی داری ۱۰ درصد) مستقل از هم فرض می‌شود که در شرط $\frac{-1-1.645\sqrt{n-2}}{n-2} \leq r_1 \leq \frac{-1+1.645\sqrt{n-2}}{n-2}$ می‌شود که در این حالت آزمون MK با روش کلاسیک (یا MK1

نتایج و بحث

همان‌طور که ذکر گردید، در این مطالعه از داده‌های بارش، دبی جریان و سطح آب زیرزمینی در ۱۲ زیرحوضه در حوضه آبریز دریاچه ارومیه استفاده شده است. در مرحله اول، پیزومترهای ارائه شده در جدول ۲ با استفاده از تئوری آنتروپی مورد بررسی قرار گرفتند نتایج بررسی شاخص آنتروپی در تعیین چاه‌های برتر در زیرحوضه داشبند به عنوان نمونه به شرح جدول ۳ ارائه گردید. با توجه به شاخص اطلاعات خالص تبادلی آنتروپی، که به عنوان شاخصی جهت رتبه‌بندی چاه‌ها استفاده می‌شود، می‌توان مشاهده کرد که پیزومتر میرآباد در زیرحوضه داشبند بیشترین ارتباط را با سایر چاه‌ها داشته و اطلاعات این چاه معرف بهتری از دشت می‌باشد. در واقع اطلاعات این چاه به خوبی بیانگر وضعیت آبخوان دشت می‌باشد و با اطمینان بالا می‌توان به مقادیر این چاه اعتماد کرد. همان‌طور که مشاهده می‌شود، انتقال اطلاعات این چاه نیز از سایر چاه‌ها بیشتر می‌باشد. چاه‌های منتخب با استفاده از تئوری آنتروپی در هر زیرحوضه نیز به شرح جدول ۴

جدول ۴- چاه‌های پیزومتری منتخب در زیرحوضه‌های مورد مطالعه در این تحقیق

زیرحوضه	پیزومتر منتخب با استفاده تئوری آنتروپی
میرآباد	داشبند
دیزج	دیدان
کلهر	درزمن
تقده	تازه قلعه
ظلم آباد	چالخماز
ناظلو	تپیک
شیخ بابا	فشلان امیر
مراغه	تازه کند
آخولا	مایان

بررسی و حذف می‌گردد. ابتدا واریانس اصلاح شده که با $V(S)^*$ معروفی شده است، به شرح زیر می‌باشد:

$$V(S)^* = V(S) \cdot \frac{n}{n^*} \quad (12)$$

$$\frac{n}{n^*} = 1 + \frac{2}{n(n-1)(n-2)} \times \sum_{i=1}^{n-1} (n-i)(n-i-1)(n-i-2) \cdot r_i \quad (13)$$

که در آن n^* اندازه مؤثر نمونه بوده و از طریق رابطه (۱۳) قابل محاسبه می‌باشد، $V(S)^*$ از رابطه (۵) از رابطه (۵) source not found. می‌باشد، $V(S)^*$ از رابطه (۵) از رابطه (۸) محاسبه می‌شوند. برای محاسبه Z من-کندال، در رابطه (۵) مقدار عبارت $V(S)^*$ با $V(S)$ جایگزین می‌گردد. حامد و رائو نشان دادند که در این روش، معنی‌داری روند دقیق‌تر از روش من - کندال مرسوم بوده و اثری بر توان (قدرت) آزمون ندارد (Hamed and Rao, 1998).

جدول ۳- نتایج بررسی شاخص‌های آنتروپی در زیرحوضه داشبند

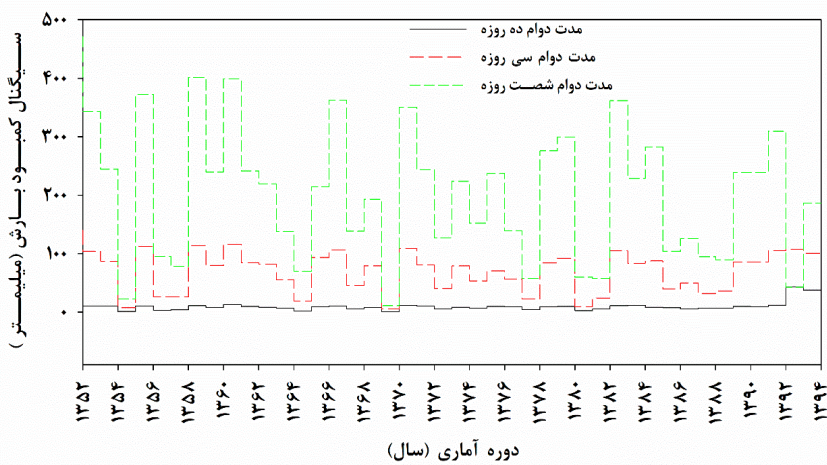
پیزومتر	شاخص اطلاعات خالص تبادلی		
UTM-x	UTM-y		
۵۹۸۳۵۰	۴۱۱۳۷۵۰	-۰/۰۹۰	عباس آباد
۶۰۶۸۹۵	۴۰۴۵۱۰۵	-۰/۰۱۶	حمامیان
۶۰۷۰۴۶	۴۰۴۴۹۱۰	۰/۰۴۰	میرآباد
۶۰۹۱۵۹	۴۰۴۴۷۸۰	-۰/۰۸۴	گورستان
۶۰۵۰۳۰	۴۰۴۴۵۱۵	-۰/۰۴۵	مهاباد

زیرزمینی که از این پس به عنوان سیگنال کمبود بارش، سیگنال کمبود دبی و سیگنال کمبود سطح آب زیرزمینی یاد می‌شوند، با

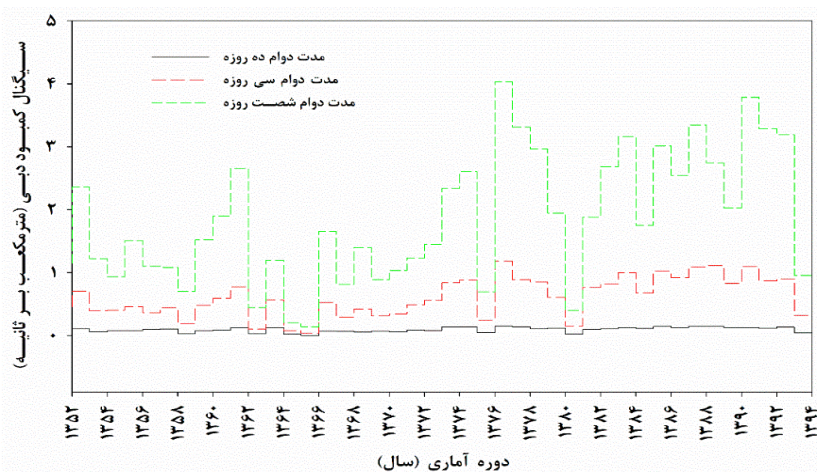
استخراج سیگنال‌های منابع آب مقادیر کمبود بارش، کمبود دبی جریان و کمبود سطح آب

۶۰ روزه به شرح شکل‌های ۲ تا ۴ ارائه شده است.

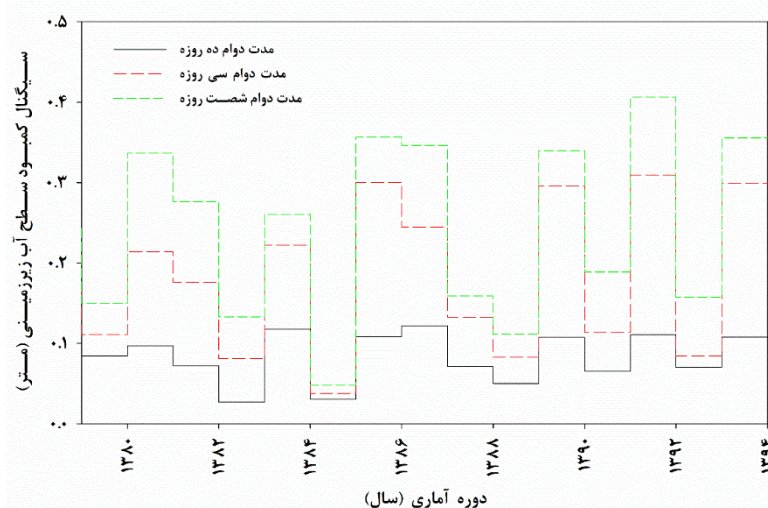
استفاده از رابطه مورد نظر استخراج و تا مدت دوام پیوسته ۶۰ روزه تصحیح و تکمیل گردید. نتایج استخراج مقادیر سیگنال کمبود در زیرحوضه داشبند به عنوان نمونه در مدت دوام‌های پیوسته ۱۰، ۳۰ و ۶۰ روزه



شکل ۲- نتایج استخراج سیگنال کمبود بارش در ایستگاه هواشناسی داشبند در دوره آماری ۱۳۹۴-۱۳۵۲ در مدت دوام‌های ۱۰، ۳۰ و ۶۰ روزه



شکل ۳- نتایج استخراج سیگنال کمبود بارش در ایستگاه هیدرومتری داشبند در دوره آماری ۱۳۹۴-۱۳۵۲ در مدت دوام‌های ۱۰، ۳۰ و ۶۰ روزه



شکل ۴- نتایج استخراج سیگنال کمبود سطح آب زیرزمینی در پیزومتر میرآباد در دوره آماری ۱۳۹۴-۱۳۷۹ در مدت دوام‌های ۱۰، ۳۰ و ۶۰ روزه

استخراج مقادیر سیگنال‌های کمبود بارش در سطح منطقه مورد مطالعه نشان داد که الگوی تغییرات مدت دوام‌های مختلف تقریباً یکسان می‌باشد. همان‌طور که مشاهده می‌گردد، تغییرات این سیگنال در طی سال‌های اخیر شدت بیشتری پیدا کرده است. تغییر شکل بارش‌ها در سال‌های اخیر و از بین رفتن ذخایر برف مناطق شمالی حوضه دریاچه ارومیه و همچنین تغییرات اقلیمی سبب کاهش بارش و کاهش دبی جریان شده است. در طی سال‌های اخیر کمبود دبی جریان باعث تغییر رژیم رودخانه‌ها شده و رودخانه‌های دائمی به رودخانه‌های فصلی و حتی مسیل تبدیل شده است. این موضوع برای استان آذربایجان غربی و دریاچه ارومیه که وابستگی شدیدی به آب‌های سطحی دارند، مشکلات عدیده‌ای را به دنبال خواهد داشت. کاهش جریان رودخانه‌ها و محدود شدن دور آبیاری مزارع در این حوضه سبب گرایش کشاورزان به برداشت از آبهای زیرزمینی و حفر چاه‌های غیرمجاز می‌شود که این موضوع نیز سبب آسیب جدی به آبخوان خواهد شد. جریانات رودی به دریاچه ارومیه علاوه بر جریان سطحی، جریان آب زیرزمینی که چشممه‌های آب شیرین را نیز در بر می‌گیرد. با کاهش ورودی‌ها از طرف آب‌های سطحی و همچنین کاهش جریانات آب زیرزمینی به دلیل افزایش تعداد چاههای غیر مجاز سبب افزایش شوری آب دریاچه ارومیه می‌شود.

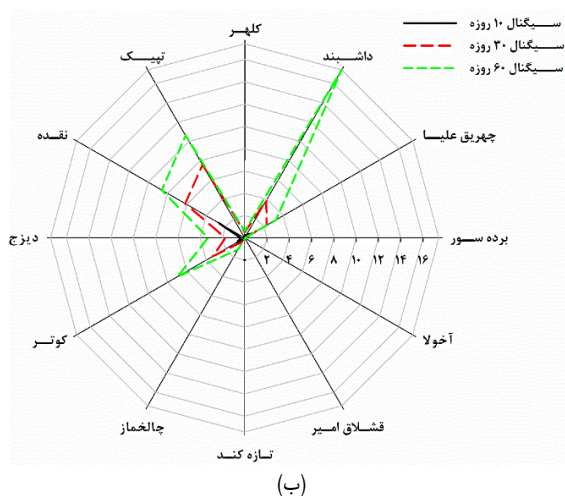
همچنین با توجه به بالا بودن سطح آب زیرزمینی در منطقه مورد مطالعه، بارش و دبی جریان تأثیر مستقیم بر آن دارد و تأخیر چندانی بین این سه پارامتر وجود ندارد. افزایش سطح دسترسی به آب زیرزمینی و یا افزایش کمبود سطح آب زیرزمینی با توجه به وسعت آبخوان، حجم زیادی از آب زیرزمینی را شامل می‌شود که جریان این کسری مخزن بسیار دشوار است. از طرفی با کاهش سطح آب زیرزمینی و افزایش بارش‌های حدی در منطقه مورد مطالعه، بافت

سیگنال‌های مورد بررسی در مدت دوام‌های پیوست ۱۰، ۳۰ و ۶۰ روزه استخراج شده و مورد بررسی قرار گرفت. تمام سیگنال‌های مورد بررسی تا مدت دوام پیوسته ۶۰ روزه تصحیح و تکمیل گردید. به دلیل عدم وجود کمبود بارش پیوسته بیش از شصت روز، این مدت دوام به عنوان مدت دوام نهایی انتخاب گردید. همان‌طور که از شکل‌های فوق قابل مشاهده می‌باشد، توزیع الگوی پراکنده‌گی هر سه مدت دوام ۱۰، ۳۰ و ۶۰ روزه یکسان می‌باشد. ایستگاه هیدرومتری داشبند یکی از قدیمی‌ترین ایستگاه‌های فعال در حوضه دریاچه ارومیه می‌باشد که به دلیل اهمیت آن از سال ۱۳۹۲ دارای داده‌های ثبت شده می‌باشد، اما به دلیل تغییرات اقلیمی صورت گرفته در این منطقه با کاهش شدید دبی جریان مواجه شده است. در این زیرحوضه (داشبند) می‌توان تغییرات سیگنال کمبود بارش را در بازه صفر تا ۵۰۰ میلی‌متر در مدت دوام‌های مختلف مشاهده کرد. با توجه به نتایج این مطالعه و مطالعات صورت گرفته در حوضه آبریز دریاچه ارومیه (Khalili et al., 2016; Tahroudi et al., 2019a) می‌توان نتیجه گرفت که با افزایش مقادیر سیگنال کمبود بارش در منطقه دو حالت را نتیجه می‌دهد: نخست، کاهش بارش‌های حوضه دریاچه ارومیه در طی سال‌های اخیر و دوم، تغییر الگوی بارش و توزیع آن که باعث افزایش مقادیر حدی بارش و سیلان می‌شود. با توجه به این که ایستگاه‌های هیدرومتری منتخب در محدوده بالادست سد قرار دارند و تأثیر سد بر داده‌ها وجود ندارد، لذا تغییرات ایجاد شده همگی در اثر کاهش بارش‌ها و تغییر شکل بارش‌ها می‌باشد. با توجه به تغییرات دبی جریان در حوضه دریاچه ارومیه که در مطالعات مختلف از جمله (Khalili et al., 2016; Tahroudi et al., 2019b) نیز بدان اشاره شده است، می‌توان افزایش سیگنال کمبود دبی جریان را در بیشتر ایستگاه‌های هیدرومتری مورد بررسی مشاهده کرد. به‌طور کلی نتایج

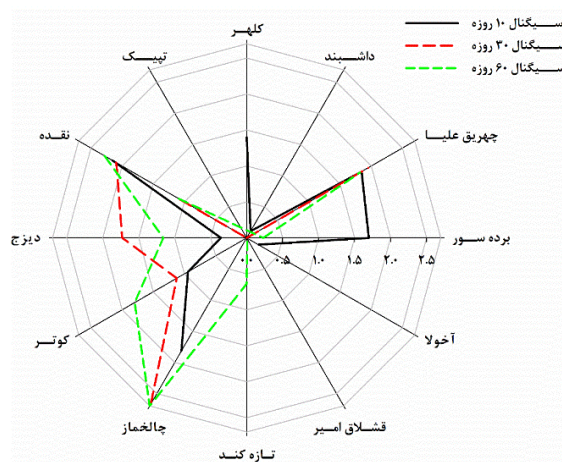
کمبود به صورت شکل‌های ۵ تا ۷ ارائه گردید. از آنجا که تغییرات مدت دوام‌های مختلف سیگنال‌های کمبود از یک توزیع پیروی می‌کنند، لذا بررسی روند صرفاً با سه مدت دوام ۱۰، ۳۰ و ۶۰ روزه انجام شد.

نتایج بررسی روند تغییرات مقادیر کمبود سیگنال‌های منابع آب سطحی و زیرزمینی در سطح حوضه دریاچه ارومیه با استفاده از آزمون من-کنдал اصلاح شده با حذف اثرات خودهمبستگی داخلی انجام شد. نتایج نشان داد که مقادیر کمبود بارش در ایستگاه‌های باران‌سنگی مورد بررسی افزایش بوده و این تغییرات در برخی ایستگاه‌ها در سطح معنی‌داری ۵ درصد معنی‌دار و برخی غیرمعنی‌دار می‌باشد.

خاک آسیب دیده و ساختمان خاک به مرور حالت احیای خود را از دست می‌دهد. این موضوع به افزایش پتانسیل سیل خیزی حوضه کمک خواهد کرد. یکی از دلایل مهم کاهش سطح آب زیرزمینی در منطقه مورد مطالعه، کاهش مقادیر بارش در طی سال‌های اخیر می‌باشد. ناظری تمہروی و همکاران (۱۳۹۶) با بررسی تغییرات دبی جریان در حوضه دریاچه ارومیه در دوره آماری ۱۳۶۳-۱۳۹۲، روند کاهشی بارش و دبی را در اغلب ایستگاه‌های هواشناسی و هیدرومتری مورد بررسی تائید کردند. جهت بررسی معنی‌داری یا غیر معنی‌داری تغییرات سیگنال‌های مورد بررسی از آزمون من-کنдал اصلاح شده و شبی خط روند (شبی سن) استفاده شده و نتایج بررسی روند تغییرات و شبی خط روند این تغییرات در مورد سیگنال‌های

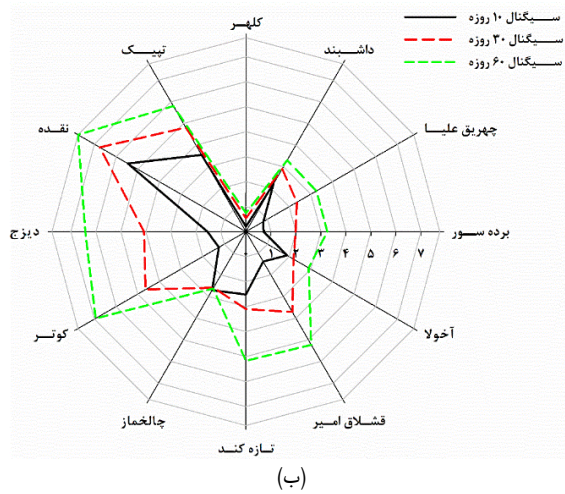


(ب)

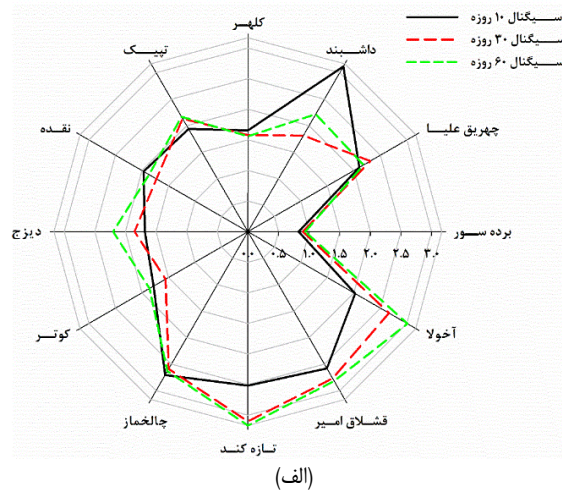


(الف)

شکل ۵- تغییرات سیگنال‌های کمبود بارش ایستگاه‌های هواشناسی منتخب در دوره آماری مورد بررسی در مدت دوام‌های ۱ تا ۶۰ روزه (الف: آماره من-کنдал اصلاح شده، ب: شبی خط روند (شبی سن))

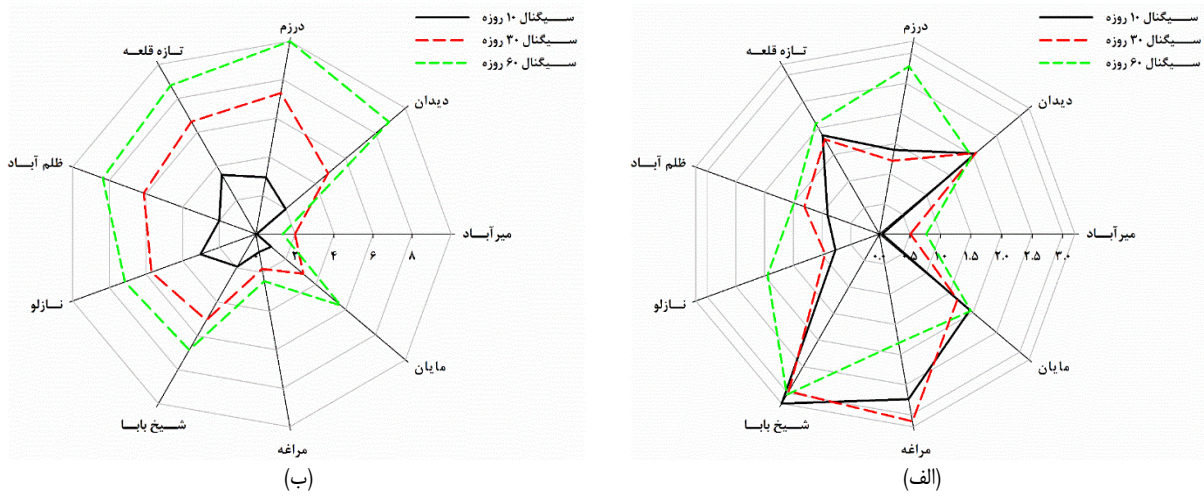


(ب)



(الف)

شکل ۶- تغییرات سیگنال‌های کمبود دبی جریان ایستگاه‌های هیدرومتری منتخب در دوره آماری مورد بررسی در مدت دوام‌های ۱ تا ۶۰ روزه (الف: آماره من-کنдал اصلاح شده، ب: شبی خط روند (شبی سن))



شکل ۷- تغییرات سیگنال‌های کمبود سطح آب زیرزمینی ایستگاه‌های منتخب در دوره آماری مورد بررسی در مدت دوام‌های ۱ تا ۶۰ روزه (الف: آماره من-کندال اصلاح شده، ب: شب خط روند (شب سن))

طی دوره آماری نشان می‌دهد. افزایش مقادیر این پارامتر، بیانگر زیاد شدن این فاصله می‌باشد. تغییرات این سیگنال به دلیل مقایسه مقادیر بارش با متوسط درازمدت خود، بهتر می‌تواند تغییرات کاهشی بارش‌ها را نشان دهد. تغییرات مقادیر بارش، شکل و توزیع آن در طی سال‌های اخیر، میزان افزایش سیگنال کمبود بارش را معنی‌دار کرده است. این افزایش سیگنال کمبود بارش در گام دوم تأثیرات منفی بر مقادیر دبی جریان دارد. نتایج بررسی سیگنال کمبود دبی جریان یکی از مؤلفه‌های اصلی خشکسالی هیدرولوژیکی می‌باشد، نشان داد که تغییرات این سیگنال نیز در طی دوره آماری مورد بررسی در تمامی ایستگاه‌های هیدرومتری افزایشی می‌باشد. این افزایش در مقادیر سیگنال کمبود دبی جریان نتیجه تغییرات افزایشی مقادیر سیگنال کمبود بارش در حوضه می‌باشد. تغییر الگوی بارش‌ها نیز در مطالعات Khalili et al., 2016; Khozeymehnezhad and مختلف نظری (Tahroudi, 2019; Tahroudi et al., 2018) تائید و گزارش شده است. البته تغییر شکل بارش‌ها و از دست رفتن ذخایر برفی نیز از مؤلفه‌های مهم دیگری در افزایش سیگنال کمبود در جریان در زیر حوضه‌های مورد بررسی می‌باشد. با افزایش مقادیر سیگنال کمبود دبی جریان در منطقه مورد مطالعه بسیاری رودخانه‌های موجود فصلی شده و تقریباً به مسیل تبدیل شده‌اند.

حدی شدن بارش‌ها، افزایش سیگنال کمبود بارش و تأثیرات آن بر روی جریان در حوضه مورد مطالعه، خشکسالی‌های هواشناسی و هیدرولوژی را در آینده بر منطقه حاکم می‌کند. زیرا با افزایش این دو سیگنال در منطقه از میزان نفوذپذیری خاک کاسته شده و همچنین بافت و ساختمان خاک تخریب می‌گردد. این تخریب از احیای دوباره سفره‌ها جلوگیری می‌کند. تأثیر افزایش دو سیگنال یاد شده را می‌توان به خوبی در تغییرات سیگنال کمبود سطح آب زیرزمینی در

تغییرات افزایشی مقادیر کمبود بارش در ایستگاه‌های باران‌سنجدی نقده، دیزج، کوتار، چالخماز، برد سور و چهربیق علیا معنی‌دار و مابقی غیرمعنی‌دار می‌باشد. با توجه به سطح معنی‌داری ۵ درصد، مقادیر آزمون من - کندال اصلاح شده بین $1/96 + 1/96$ - بیانگر تغییرات معنی‌دار و مقادیر خارج از این محدوده، بیانگر تغییرات غیرمعنی‌دار می‌باشد. در مورد سیگنال کمبود دبی جریان نیز نتایج بررسی‌ها نشان داد که به غیر از ایستگاه هیدرومتری برد سور، روند تغییرات افزایشی سیگنال کمبود دبی جریان سایر ایستگاه‌های هیدرومتری در سطح معنی‌داری ۵ درصد معنی‌دار می‌باشد. تغییرات افزایشی کمبود سطح آب زیرزمینی نیز با توجه به آماره من - کندال اصلاح شده در پیزومترهای میرآباد، نازلو، ظلم‌آباد و تازه‌کند غیر معنی‌دار و در سایر پیزومترها معنی‌دار می‌باشد. مقدار تغییرات این سیگنال در هر سال با استفاده از آزمون شب خط روند (شب سن) مورد بررسی قرار گرفت. با توجه به نتایج حاصله می‌توان تغییرات هر ساله مقادیر کاهشی سیگنال‌های مورد بررسی را مشاهده کرد. با توجه به شب خط روند می‌توان مشاهده کرد که بیشترین تغییرات هر ساله مقادیر کمبود سیگنال بارش مربوط به ایستگاه باران‌سنجدی داشتند با تغییرات کاهشی ۱۸ میلی‌متر در هر سال است. بیشترین افزایش سیگنال کمبود دبی جریان نیز در بین ایستگاه‌های هیدرومتری مربوط به ایستگاه‌های هیدرومتری تپیک، نقده، دیزج و کوتار می‌باشد.

نتایج بررسی روند تغییرات سیگنال کمبود بارش در زیرحوضه‌های مورد بررسی نشان از افزایشی بودن این پارامتر در طی دوره آماری مورد بررسی می‌باشد. افزایش سیگنال کمبود بارش یکی از اصلی‌ترین مؤلفه‌های خشکسالی هواشناسی هر منطقه می‌باشد. افزایش مقادیر این سیگنال، افزایش خشکسالی‌ها را در پی خواهد داشت. سیگنال کمبود بارش، فاصله گرفتن مقادیر بارش از میانگین درازمدت را در

ناظری تهروdi، م.، و خزیمه‌نژاد، ح. ۱۳۹۶. بررسی روند تغییرات بارش‌های منطقه جنوب غرب آسیا. آب و خاک مشهد، ۵(۳۱): ۱۱۲۵-۱۱۵۱.

ناظری تهروdi، م.، و شهیدی، ع. ۱۳۹۶. بررسی تأثیر احداث سد گتوند بر تغییرات سری زمانی پارامترهای کیفی جریان. تحقیقات منابع آب ایران، ۱۳(۳): ۱۸۰-۱۷۵.

Ahmadi, F., Nazeri Tahroudi, M., Mirabbasi, R., Khalili, K., and Jhajharia, D. 2018. Spatiotemporal trend and abrupt change analysis of temperature in Iran, Meteorological Applications, 25(2), 314-321.

Hamed, K. H., and Rao, A. R. 1998. A modified Mann-Kendall trend test for autocorrelated data, Journal of Hydrology, 204(1-4), 182-196.

Kendall, M. G. 1963. The advanced theory of statistics: in 3 volumes. C. Griffin.

Khalili, K., Tahoudi, M. N., Mirabbasi, R., and Ahmadi, F. 2016. Investigation of spatial and temporal variability of precipitation in Iran over the last half century, Stochastic Environmental Research and Risk Assessment, 30(4), 1205-1221.

Khozeymehnezhad, H., and Tahroudi, M. N. 2019. Annual and seasonal distribution pattern of rainfall in Iran and neighboring regions, 12(8), 271.

Kumar, S., Merwade, V., Kam, J., and Thurner, K. 2009. Streamflow trends in Indiana: effects of long term persistence, precipitation and subsurface drains, Journal of Hydrology, 374(1-2), 171-183.

Lins, H. F., and Slack, J. R. 2005. Seasonal and regional characteristics of US streamflow trends in the United States from 1940 to 1999, Physical Geography, 26(6), 489-501.

Mann, H. B. 1945. Nonparametric tests against trend, Econometrica: Journal of the Econometric Society, 245-259.

Sen, PK. 1968. Estimates of the regression coefficient based on Kendall's tau, Journal of the American statistical association, 63(324), 1379-1389.

Tahroudi, MN., Khalili, K., Ahmadi, F., Mirabbasi, R., and Jhajharia, DJ. 2018. Development and application of a new index for analyzing temperature concentration for Iran's climate, International Journal of Environmental Science and Technology, 16(6), 2693-2706.

Tahroudi, MN., Pourreza-Bilondi, M., and Ramezani, Y. 2019a. Toward coupling hydrological and meteorological drought characteristics in Lake Urmia Basin, Iran, Theoretical and Applied Climatology, 1-13.

Tahroudi, MN., Siuki, AK., and Ramezani, Y. 2019b. Redesigning and monitoring groundwater quality and quantity networks by using the entropy

منطقه مورد مطالعه مشاهده کرد. افزایش مقادیر سیگنال کمبود سطح آب زیرزمینی، بیانگر افزایش میزان خشک‌سالی‌های آب زیرزمینی در منطقه می‌باشد. تغییرات افزایشی مقادیر این سیگنال در تمامی زیرخواصه‌های مورد بررسی مشاهده می‌شود. مقادیر افزایشی که شبیه خط روند (شبیه سن) در مورد سیگنال کمبود سطح آب زیرزمینی در منطقه نشان می‌دهد، کاهش عظیم منابع آب زیرزمینی در هر سال را رقم می‌زنند.

نتیجه‌گیری

در این تحقیق روند تغییرات سیگنال‌های کمبود منابع آب مورد بررسی قرار گرفت. در این خصوص از مقادیر بارش، دبی جریان و سطح آب زیرزمینی در زیرخواصه‌های مورد بررسی استفاده گردید. جهت بررسی دقیق‌تر تغییرات مؤلفه‌های منابع آب در حوضه مورد بررسی، از سیگنال‌های کمبود استفاده شد. نتایج بررسی‌ها نشان داد که تغییرات سیگنال‌های کمبود منابع آب در سطح حوضه مورد بررسی، کاهش مؤلفه‌های منابع آبی حوضه را به خوبی نمایان می‌کند. نتایج بررسی تغییرات سیگنال‌های مورد بررسی در سطح حوضه نشان داد که در تمامی زیرخواصه‌های مورد بررسی، تغییرات افزایشی در مورد سه سیگنال کمبود سطح آب زیرزمینی، کمبود بارش و کمبود دبی جریان به‌وضوح مشاهده می‌شود. کلیه تغییرات مورد بررسی افزایشی بوده که در برخی زیرخواصه‌ها، این مقدار افزایش معنی‌دار است. تغییرات اقلیمی دهه‌های اخیر، مقادیر بارش زیرخواصه‌های مورد مطالعه را تحت تأثیر قرار داده است که در پی آن روند افزایشی سیگنال‌های کمبود دبی جریان و کمبود سطح آب زیرزمینی را می‌توان مشاهده کرد. شاخص کمبود، با توجه به تعریف آن، بدترین حالت ممکن و بیشترین مقدار کمبود را در نظر می‌گیرد. بر این اساس با توجه به شبیه خط روند (شبیه سن)، می‌توان تغییرات مقادیر کمبود را در طی دوره آماری مورد بررسی را برآورد کرد. با توجه به شبیه خط سن می‌توان مشاهده کرد که در طی دوره آماری مورد بررسی، درصد تغییرات سیگنال‌های کمبود دبی و (بارش) در ایستگاه‌های برده‌سور، چهاریق علیا، داشبند، کاهر، تپیک، نقده، دیزج، کوتور، چالخماز، تازه‌کند، قشلاق امیر و آخولا به ترتیب ۶ (۳۴)، ۵۴ (۴۰)، ۵۶ (۳۵)، ۲۸ (۳۴)، ۲۸ (۴۹)، ۵۷ (۵۸)، ۵۵ (۵۸)، ۳ (۲۸)، ۲ (۴۷)، ۲ (۳۴)، ۱ (۴۱) و ۰/۱۵ (۱۷) درصد افزایش یافته است.

منابع

احمدی، ف.، رادمنش، ف.، و میرعباسی نجف‌آبادی، ر. ۱۳۹۵. تحلیل روند بارندگی نیمه شمالی کشور در نیم قرن اخیر. نشریه دانش آب و خاک، ۱۶(۲): ۲۲۴-۲۰۷.

۱۰۹۸-۱۱۰۷.

Xu, Z., Schumann, A., and Li, J. 2003. Markov cross-correlation pulse model for daily streamflow generation at multiple sites, *Advances in Water Resources*, 26(3), 325-335.

Zamani, R., Mirabbasi, R., Nazeri, M., Meshram, SG., and Ahmadi, F. 2018. Spatio-temporal analysis of daily, seasonal and annual precipitation concentration in Jharkhand State, India, *Stochastic Environmental Research and Risk Assessment*, 32(4), 1085-1097.

theory, Environmental monitoring and assessment, 191(4), 250.

Theil, H. 1950. A rank-invariant method of linear and polynomial regression analysis, 3; confidence regions for the parameters of polynomial regression equations, *Indagationes Mathematicae*, 1(2), 467-482.

Wang, S., Zhang, Z., Sun, G., McNulty, S. G., Zhang, H., Li, J., and Zhang, M. 2008. Long-Term Streamflow Response to Climatic Variability in the Loess Plateau, China 1, *Jawra Journal of the American Water Resources Association*, 44(5),

Investigation of the Trend of Water Resources Deficiency Signatures in Lake Urmia Basin

M. Nazeri Tahroudi¹, Y. Ramezani^{2*}, C. De Michele³, R. Mirabbasi-Najafabadi⁴

Received: Jan.24, 2020

Accepted: Feb.24, 2020

Abstract

Study of long-term changes in water resources in each basin acts as a monitoring system. Investigating the trend of water resources, how to change and their percentage in each basin will greatly contribute to the water resources management. In this study, after introducing water deficiency signatures, the trend of these signatures were investigated using modified Mann-Kendall test with removing all of self-autocorrelation. In this study, the signatures of rainfall deficiency, river flow discharge deficiency and groundwater level deficiency were used for 10-, 30- and 60-day durations in 12 sub basins in Lake Urmia Basin. Rain gauge and hydrometric stations were used for rainfall and flow discharge values and the entropy theory was used to select the piezometric wells. The results of changes in deficiency signatures values showed that the overall changes are increasing, which in some cases is significant and in some cases not significant. In general, the results indicated that, the signatures of rainfall deficiency, flow discharge deficiency and groundwater level deficiency increased by 52, 35 and 23 percent, respectively, over the mean long-term in the studied sub-basins. These changes for Lake Urmia Basin indicate an increase the meteorological, hydrological and groundwater droughts.

Keywords: Dryness, Flow Discharge, Groundwater, Kendall, Rainfall

1- Ph.D. Candidate of water Resources, Department of Water Engineering, University of Birjand, Birjand, Iran

2- Associate Professor, Department of Water Engineering, University of Birjand, Birjand, Iran

3- Professor, Civil and Environmental Engineering, Politecnico di Milano, Milan, Italy

4- Associate Professor, Department of Water Engineering, Shahrekord University, Shahrekord, Iran

(*- Corresponding Author Email: y.ramezani@birjand.ac.ir)